

# ВЯЗКОУПРУГИЕ СВОЙСТВА НЕОДНОРОДНЫХ СРЕД С ФРАКТАЛЬНОЙ СТРУКТУРОЙ

**B. B. Новиков\***

Одесский национальный политехнический университет  
65044, Одесса, Украина

**K. B. Войцеховский\*\***

Institute of Molecular Physics of Polish Academy of Sciences  
60-179, Poznan, Poland

Поступила в редакцию 28 декабря 2001 г.

Проведены расчеты вязкоупругих свойств двухфазной среды с хаотической структурой во всем диапазоне концентраций. Установлены условия немонотонного и сингулярного поведения эффективных вязкоупругих свойств.

PACS: 61.43.Hv, 46.35.+z, 05.10.Cc, 82.70.Kj, 83.50.-v

## 1. ВВЕДЕНИЕ

Если на тело действует внешняя сила, то в нем возникают деформации, а само тело находится под напряжением. Если это напряжение неизменно существует и исчезает мгновенно при прекращении действия, то тело является идеально упругим. В этом случае связь между тензором напряжений  $\sigma$  и тензором деформаций  $\varepsilon$  определяется согласно закону Гука [1]:

$$\sigma = C\varepsilon, \quad \varepsilon = S\sigma, \quad (1.1)$$

где  $C$  — тензор модулей упругости,  $S$  — тензор модулей податливости.

При необратимой деформации, т. е. при течении тела, напряжение в кратчайшие промежутки времени убывает и снова восстанавливается вследствие смещения структурных элементов. Если при этом форма и состояние структурных элементов не испытывают изменения, то тело является идеально вязким и его поведение описывается уравнением Ньютона [2, 3]

$$\sigma = \eta \frac{d\varepsilon}{dt}, \quad (1.2)$$

где  $\eta$  — вязкость жидкости.

Большинство реальных тел являются вязкоупругими и только при определенных условиях подчиняются законам (1.1) и (1.2). Поэтому для характеристики деформационно-напряженного состояния реальных тел вводят понятие времени спада напряжения, или времени релаксации  $\tau$ . Для абсолютно упругих тел  $\tau \rightarrow 0$ , а для идеально вязких  $\tau \rightarrow \infty$ . В интервале  $0 < \tau < \infty$  располагаются реальные вязкие, аномально вязкие и вязкоупругие среды.

Если внешнее воздействие периодическое, то напряжение и деформации изменяются по закону [2, 3]

$$\sigma_{ij}(t) = \sigma_{ij}^0 e^{i\omega t}, \quad \varepsilon_{kl}(t) = \varepsilon_{kl}^0 e^{i(\omega t - \varphi)}, \quad (1.3)$$

где  $\sigma_{ij}^0$  и  $\varepsilon_{ij}^0$  — амплитудные значения напряжений и деформаций,  $\omega$  — круговая частота,  $\varphi$  — угол погрешности.

Для амплитудных значений  $\sigma_{ij}^0$ ,  $\varepsilon_{ij}^0$  справедлив закон Гука, если в материале протекает один релаксационный процесс, т. е.

$$\sigma_{ij}^0 = c_{ijkl}(\omega) \varepsilon_{kl}^0, \quad \varepsilon_{ij}^0 = s_{ijkl}(\omega) \sigma_{kl}^0, \quad (1.4)$$

где  $c_{ijkl}$  — компоненты тензора модулей упругости, а  $s_{ijkl}$  — компоненты тензора податливости.

В идеальной упругой среде  $\varphi = 0$  и связь между тензором напряжений  $\sigma$  и тензором деформаций  $\varepsilon$  сводится к закону Гука для упругой среды (1.1).

Если  $\varphi \neq 0$ , то с учетом (1.3) получим

$$\varepsilon_{ij} = S_{ijkl}(\omega) e^{-i\varphi} \sigma_{kl}. \quad (1.5)$$

\*E-mail: novikov@Te.Net.Ua

\*\*K. W. Wojciechowski

В этом случае для расчетов удобно ввести понятие комплексной податливости  $S^*(\omega)$ :

$$S^*(\omega) = S(\omega)e^{-i\varphi} = S(\omega)(\cos\varphi - i\sin\varphi), \quad (1.6)$$

и закон Гука можно записать в виде

$$\varepsilon = S^*(\omega)\sigma, \quad (1.7)$$

где

$$S^*(\omega) = S'(\omega) - iS''(\omega), \quad (1.8)$$

$S'(\omega)$  — податливость накоплений,  $S''(\omega)$  — податливость потерь.

Можно показать, что относительное рассеяние упругой энергии связано только с мнимой составляющей  $S''(\omega)$  упругих модулей [2, 3]. В связи с этим  $\varphi$  обычно называют внутренним трением материала или углом потерь.

В дальнейшем будем рассматривать изотропные среды, для которых аналогично (1.8) можно ввести понятие комплексного объемного модуля упругости  $K^*(\omega)$  [3]:

$$K^*(\omega) = K'(\omega) + iK''(\omega) = K'(\omega)(1 + i\tg\varphi), \quad (1.9)$$

где

$$\tg\varphi = K''(\omega)/K'(\omega). \quad (1.10)$$

Комплексный модуль сдвига  $\mu^*$  и комплексную вязкость  $\eta^*$  можно записать в виде [2, 3]

$$\mu^*(\omega) = \mu'(\omega) + i\mu''(\omega), \quad (1.11)$$

$$\eta^* = \mu^*/i\omega, \quad (1.12)$$

$$\eta^*(\omega) = \eta'(\omega) - i\eta''(\omega). \quad (1.13)$$

Связь между  $\mu'(\omega)$ ,  $\mu''(\omega)$  и  $\eta'(\omega)$ ,  $\eta''(\omega)$  определяется уравнениями

$$\mu'(\omega) = \omega\eta''(\omega), \quad \mu''(\omega) = \omega\eta'(\omega). \quad (1.14)$$

Для среды, которая является ньютоновской жидкостью, выполняется равенство

$$\mu^*(\omega) = i\omega\eta'(\omega). \quad (1.15)$$

При описании вязкоупругих сред используются различные модели в виде сочетания пружины и поршня в вязкой жидкости. В этом (одномерном) случае законы Гука и Ньютона имеют вид [2]

$$F_H = kx, \quad (1.16)$$

$$F_N = \eta \frac{dx}{dt}. \quad (1.17)$$

Последовательному соединению этих элементов соответствует модель Максвелла, а параллельному — модель Кельвина–Фойгта (рис. 1).

Обратный переход от моделей к сплошной среде осуществляется заменой силы  $F$  и перемещений  $x$  на напряжения  $\sigma$  и деформации  $\varepsilon$ .

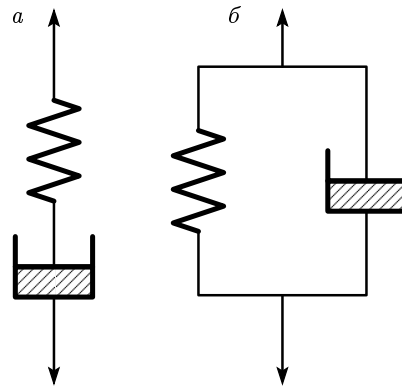


Рис. 1. Моделирование вязкоупругих свойств:  
a) модель Максвелла; б) модель Кельвина–Фойгта

### 1.1. Модель Максвелла

Модель Максвелла изображена на рис. 1а. Здесь общая деформация  $\varepsilon$  состоит из упругой  $\varepsilon_0$  и вязкой  $\varepsilon_m$  составляющих:

$$\varepsilon = \varepsilon_0 + \varepsilon_m. \quad (1.18)$$

Скорость изменения упругой деформации равна

$$\frac{d\varepsilon_0}{dt} = \frac{1}{\mu_\infty} \frac{d\sigma}{dt}, \quad (1.19)$$

так как  $\varepsilon_0 = \sigma/\mu_\infty$ , где  $\mu_\infty = \mu(\omega)|_{\omega \rightarrow \infty}$  — нерелаксированное значение модуля сдвига ( $\omega \rightarrow \infty$ ). Изменение вязкой деформации во времени связано с напряжением:

$$\frac{d\varepsilon_m}{dt} = \frac{\sigma}{\eta}, \quad (1.20)$$

где  $\eta$  — вязкость среды.

Таким образом, получаем

$$\frac{d\varepsilon}{dt} = \frac{1}{\mu_\infty} \frac{d\sigma}{dt} + \frac{\sigma}{\eta}. \quad (1.21)$$

При неизменной во времени деформации,

$$\frac{d\varepsilon}{dt} = 0, \quad (1.22)$$

получаем решение уравнения (1.21)

$$\sigma(t) = \sigma_0 \exp[-(t/\tau_\varepsilon)], \quad (1.23)$$

которое характеризует зависимость напряжения от времени  $t$ , т. е. релаксацию тела. Отношение  $\tau_\varepsilon = \eta/\mu_\infty$  является временем релаксации напряжений по Максвеллу.

При периодическом воздействии  $\varepsilon = \varepsilon_0 e^{i\omega t}$  с учетом (1.21) получим

$$\sigma_0 \mu_\infty e^{i\omega t} + i\omega \eta \sigma_0 e^{i\omega t} = \eta \mu_\infty i\omega \varepsilon e^{i\omega t},$$

откуда следует, что

$$\sigma = \frac{\mu_\infty i\omega \tau_\varepsilon \varepsilon}{1 + i\omega \tau_\varepsilon}, \quad (1.24)$$

т. е. комплексный модуль сдвига для среды Максвелла равен

$$\mu^*(\omega) = \frac{\mu_\infty i\omega \tau_\varepsilon}{1 + i\omega \tau_\varepsilon}, \quad \tau_\varepsilon = \frac{\eta}{\mu_\infty}. \quad (1.25)$$

## 1.2. Модель Кельвина–Фойгта

В модели Кельвина–Фойгта (рис. 1б) упругий  $\sigma_1$  и вязкий  $\sigma_2$  элементы соединены параллельно. В этом случае

$$\sigma = \sigma_1 + \sigma_2, \quad (1.26)$$

или

$$\sigma = 2\mu_0 \left( \varepsilon + \tau_\sigma \frac{d\varepsilon}{dt} \right), \quad \tau_\sigma = \frac{\eta}{\mu_0}, \quad (1.27)$$

откуда следует, что

$$\varepsilon = \frac{\sigma}{\mu_0 [1 - \exp(-t/\tau_\sigma)]}. \quad (1.28)$$

Здесь  $\mu_0 = \mu(\omega)|_{\omega=0}$  — релаксированное значение модуля сдвига ( $\omega \rightarrow 0$ ).

Если воздействие периодическое, то с учетом (1.27) для среды Кельвина–Фойгта получим

$$\sigma_0 e^{i\omega t} = \mu_0 (\varepsilon_0 e^{i\omega t} + \tau_\sigma i\omega \varepsilon_0 e^{i\omega t}).$$

Таким образом,

$$\sigma = \mu_0 (1 + i\omega \tau_\sigma), \quad \tau_\sigma = \eta/\mu_0, \quad (1.29)$$

т. е. комплексный модуль сдвига для среды Кельвина–Фойгта равен

$$\mu^* = \mu_0 (1 + i\omega \tau_\sigma). \quad (1.30)$$

## 1.3. Модель Зинера

Основным недостатком модели Максвелла является то, что в ней статический модуль сдвига  $\mu_0$  обращается в нуль, а недостаток модели Кельвина–Фойгта состоит в том, что она не описывает релаксацию напряжений.

Этих недостатков лишена модель Зинера (модель стандартного линейного тела) [2], в которой сочетаются модели Максвелла и Кельвина–Фойгта и

которая отражает процесс деформаций, близкий к реальному процессу.

Для стандартного линейного тела уравнение упругости можно записать в виде [2]

$$\sigma + \tau_\varepsilon \frac{d^\alpha \sigma}{dt^\alpha} = \mu \left( \varepsilon + \tau_\sigma \frac{d^\alpha \varepsilon}{dt^\alpha} \right), \quad (1.31)$$

где

$$\mu_0 = \mu(\omega)|_{\omega=0}, \quad \mu_\infty = \lim_{\omega \rightarrow \infty} \mu(\omega), \quad \tau_\varepsilon/\tau_\sigma = \mu_0/\mu_\infty,$$

$\omega$  — частота воздействия на образец. Применяя преобразование Фурье к (1.31), получим [2]

$$\bar{\sigma} + (i\omega \tau)^{\alpha} \bar{\sigma} = 2\mu_0 (\bar{\sigma} + (i\omega \tau)^{\alpha} \bar{\varepsilon}),$$

где  $\bar{\sigma}$  и  $\bar{\varepsilon}$  — фурье-образы величин  $\sigma$  и  $\varepsilon$ . Отсюда следует, что комплексный модуль сдвига для стандартного линейного тела равен

$$\mu^*(\omega) = \mu_\infty - \frac{\mu_\infty - \mu_0}{1 + (i\omega \tau_\varepsilon)^\alpha}. \quad (1.32)$$

Учитывая (1.11), получим

$$\begin{aligned} \frac{\mu_\infty - \mu'(\omega)}{\mu_\infty - \mu_0} &= \\ &= \frac{1 + (\omega \tau)^\alpha \cos(\pi \alpha / 2)}{1 + (\omega \tau)^\alpha [2 \cos(\pi \alpha / 2) + (\omega \tau)^\alpha]}, \end{aligned} \quad (1.33)$$

$$\begin{aligned} \frac{\mu_\infty - \mu''(\omega)}{\mu_\infty - \mu_0} &= \\ &= \frac{(\omega \tau)^\alpha \sin(\pi \alpha / 2)}{1 + (\omega \tau)^\alpha [2 \cos(\pi \alpha / 2) + (\omega \tau)^\alpha]}. \end{aligned} \quad (1.34)$$

Если известно фурье-преобразование функции  $\mu(t)$ , то фурье-преобразование функции распределения времен релаксации,  $f(\tau)$ , имеет вид [2]

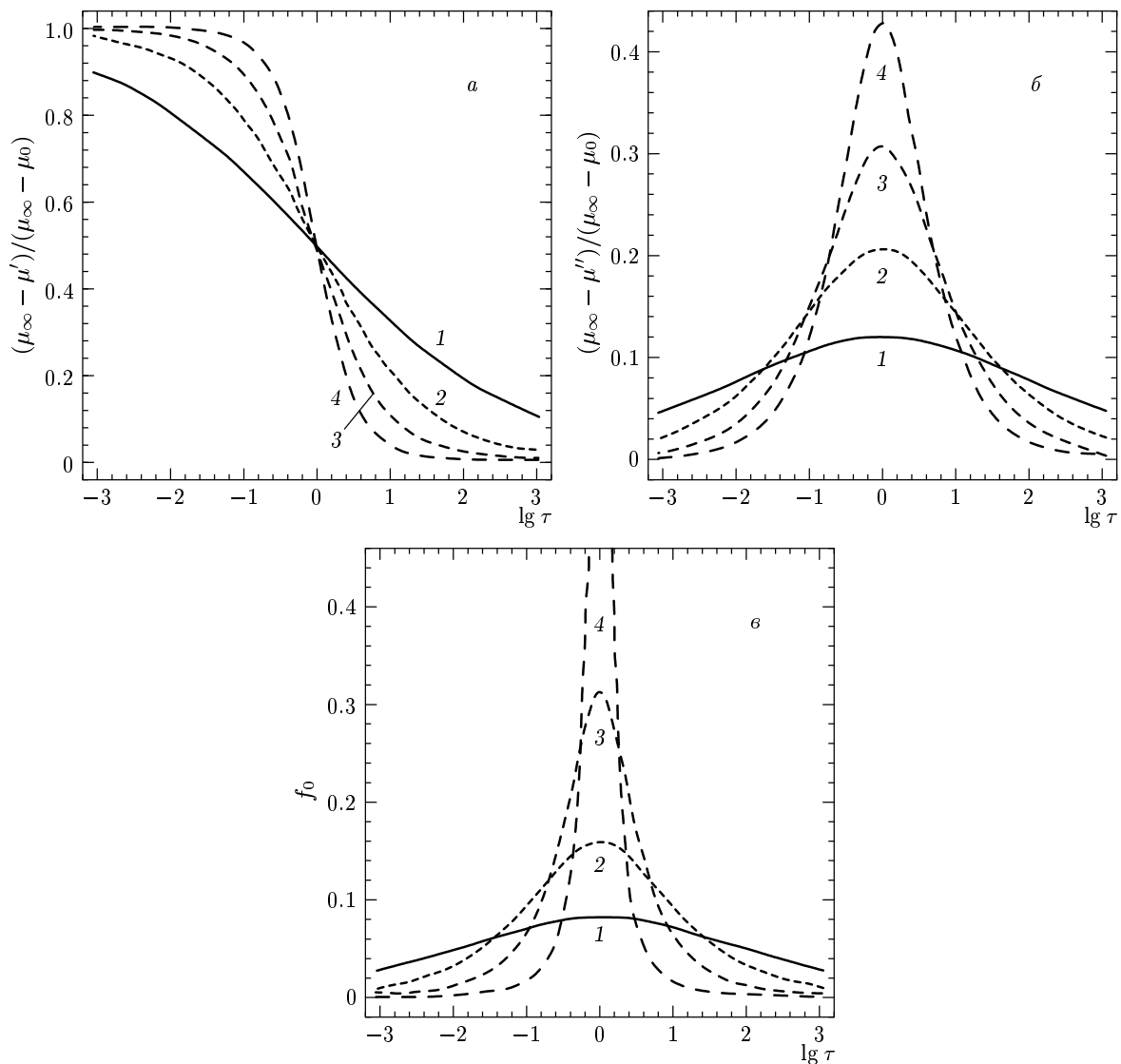
$$\bar{f}\left(\frac{1}{\omega}\right) = \pm \frac{1}{\pi} \operatorname{Im} \mu [\omega \exp(\pm i\pi)]. \quad (1.35)$$

Используя (1.34) и (1.35), можно определить нормированную плотность распределения  $f_0(\tau)$  времен релаксации (рис. 2б):

$$f_0(\tau) = \frac{\sin(\alpha\pi)}{2\pi \{ \operatorname{ch}[\alpha \ln(\tau/\tau_\varepsilon)] + \cos(\alpha\pi) \}}, \quad (1.36)$$

где

$$f_0(\tau) = \frac{f(\tau)}{\mu_\infty - \mu_0}.$$



**Рис.2.** Зависимости вязкоупругих свойств стандартного линейного тела от  $\lg \tau$  при значениях  $\alpha = 0.2$  (кривые 1); 0.4 (2); 0.7 (3); 0.9 (4): а) действительная часть относительного модуля сдвига; б) мнимая часть относительного модуля сдвига; в) нормированная функция распределения времен релаксации

Зависимость между дисперсией  $\gamma^2$  времени релаксации хаотической динамики и параметром  $\alpha$  имеет вид

и (1.34) (рис. 2а и б) согласно [4] равен дробной размерности фрактального множества времен релаксации и является характеристикой локализации (размытости) релаксационного спектра.

$$\gamma^2 = \int_{-\infty}^{\infty} \ln^2 \left( \frac{\tau}{\tau_\varepsilon} \right) f_0(\tau) d\ln \tau = \frac{\pi^2}{3} \frac{1 - \alpha^2}{\alpha^2}. \quad (1.37)$$

В [4] было показано, что уравнение (1.31) с дробными производными можно получить, если предположить, что множество времен релаксации имеет фрактальную природу. Параметр  $\alpha$  в (1.31), (1.33)

## 2. СТРУКТУРНАЯ МОДЕЛЬ

Ниже рассмотрим вязкоупругие свойства модельной неоднородной среды с хаотической фрактальной структурой.

Рассмотрим иерархическую модель структуры двухфазной среды, изменение которой с увеличени-

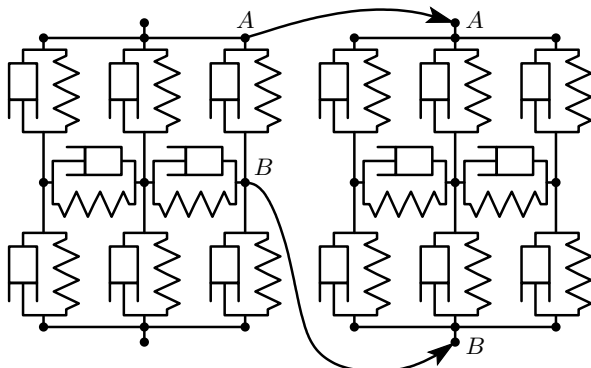


Рис. 3. Иллюстрация получения основного фрактального множества  $\Omega_n(\ell_0, p_0 = 1)$  вязкоупругих элементов для случая  $\ell_0 = 2$

ем объемной концентрации  $p$  первой фазы можно качественно описать следующим образом. Вначале в непрерывной среде из второй фазы образуются изолированные кластеры из первой фазы, затем с увеличением объемной концентрации  $p$  изолированные кластеры соединяются и переходят в так называемый бесконечный кластер, состоящий из первой фазы.

Моделирование хаотической структуры неоднородной среды можно провести на базе решеток со случайным распределением их параметров [5–7]. Узлы решетки моделируют распределение фаз в пространстве, а связи между узлами — их контакты с соседями. В дальнейшем каждая связь представлялась в виде параллельного соединения пружины и поршня (рис. 3).

Основное множество связей,  $\Omega_n(\ell_0, p_0)$ , было получено с помощью итерационной процедуры. На начальном этапе расчетов исследовалась решетка конечных размеров с длиной ребра  $\ell_0$  и вероятностью  $p_0$  того, что связь принадлежит первой фазе. На следующем шаге ( $k = 1, 2, \dots, n$ ) каждая связь в решетке заменяется решеткой, полученной на предыдущем шаге (рис. 3, 4). Итерационный процесс заканчивается, когда свойства решетки перестают зависеть от номера итерации  $k$ .

Таким образом, найденное с помощью итерационной процедуры множество связей,  $\Omega_n(\ell_0, p_0)$ , зависит от размера  $\ell_0$  начальной решетки и вероятности  $p_0$  и является самоподобным множеством, т. е. фрактальным [5–7].

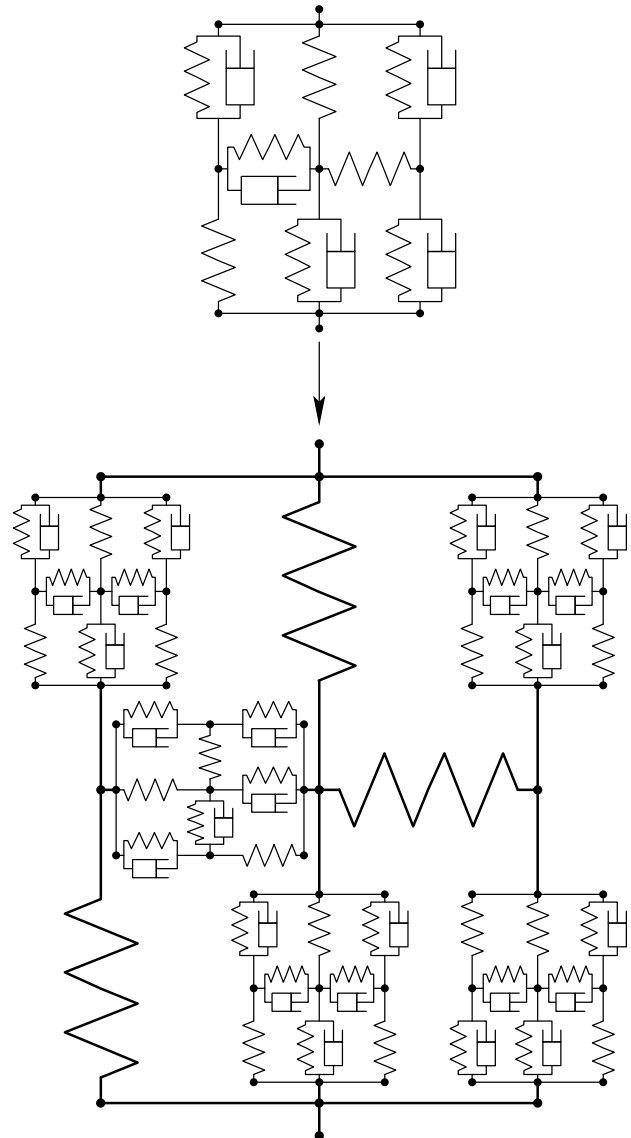


Рис. 4. Иллюстрация получения множества  $\Omega_n(\ell_0, p_0)$  для случая  $\ell_0 = 2$ ,  $p_0 = 3/8$  на втором итерационном шаге ( $k = 2$ )

### 3. ВЯЗКОУПРУГИЕ СВОЙСТВА

Рассмотрим двухфазную систему с функцией распределения

$$P_0(C) = p_0\delta(C - C_1^{(0)}) + (1-p_0)\delta(C - C_2^{(0)}), \quad (3.1)$$

где  $\delta(x)$  — функция Дирака; данная локальная область с вероятностью  $p_0$  обладает свойством  $C_1^{(0)}$  и с вероятностью  $1 - p_0$  — свойством  $C_2^{(0)}$ .

После  $k$  итерационных шагов функция плотно-

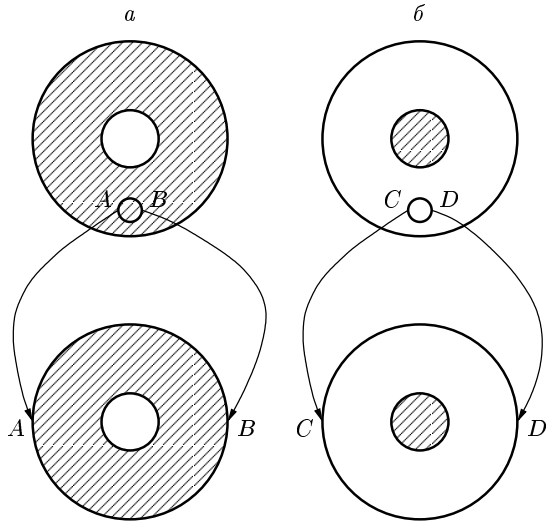


Рис. 5. Иллюстрация моделирования связанных (a) и несвязанных (b) множеств

сти принимает вид

$$P_k(C) = p_k \delta\left(C - C_c^{(k)}\right) + (1-p_k) \delta\left(C - C_n^{(k)}\right). \quad (3.2)$$

Здесь  $C_c^{(k)}$ ,  $C_n^{(k)}$  — свойства на  $k$ -м итерационном этапе соответственно связанных и несвязанных множеств;  $p_k = R(\ell_{k-1}, p_{k-1})$  — плотность соединяющего множества связей; функция  $R(\ell_{k-1}, p_{k-1})$  равна отношению числа связанных множеств к числу всех разбросов («раскрасок») на решетке.

При  $k \rightarrow \infty$

$$\lim_{k \rightarrow \infty} P_k(C) = \begin{cases} \delta\left(C - C_c^{(\infty)}\right), & p_0 > p^*, \\ \delta\left(C - C_n^{(\infty)}\right), & p_0 < p^*. \end{cases} \quad (3.3)$$

При этом

$$C_c^{(k)} \geq C \geq C_n^{(k)},$$

$$\lim_{k \rightarrow \infty} C_c^{(k)} = \lim_{k \rightarrow \infty} C_n^{(k)} = C. \quad (3.4)$$

На каждом шаге итерационного процесса структуры связанных и несвязанных множеств моделировались составной «каплей» [5, 6]: первое представляет собой непрерывный массив первой фазы с включением сферы (капли) из второй фазы (рис. 5a); второе — непрерывный массив второй фазы с включением сферы (капли) из первой фазы (рис. 5b). При этом принималось, что модуль объемной упругости  $K_1$  первой фазы и модуль сдвига  $\mu_1$  больше соответствующих величин второй фазы ( $K_2, \mu_2$ ).

Таким образом, для определения эффективных вязкоупругих свойств фрактальных структур по

данной итерационной схеме используется несколько аналитических зависимостей, а именно: функция вероятностей  $R(\ell, p)$  и зависимости вязкоупругих свойств связанных и несвязанных множеств от свойств и концентрации фаз неоднородной среды.

Функция вероятностей  $R(\ell, p)$  определяет вероятность того, что при заданных  $\ell, p$  множество связей  $\Omega_n(\ell, p)$  будет связанным. Анализ численных расчетов функции  $R(p)$  [7] для решетки  $2 \times 2 \times 2$  показал, что достаточно хорошее согласие с численными результатами имеет функция

$$R(p) = p^2(4+8p-14p^2-40p^3+16p^4+288p^5-655p^6+672p^7-376p^8+112p^9-14p^{10}), \quad (3.5)$$

которая была приведена ранее [8].

Согласно (3.5) порог протекания  $p_c$  равен 0.2084626828, т. е. несвязанное множество переходит в связанное при  $p_c \approx 0.208462$ .

Для расчета упругих свойств связанных и несвязанных множеств были использованы формулы Хашина–Штрикмана, которые основаны на структурной модели «шар» в однородной среде [9, 10] (рис. 5).

Формулы Хашина–Штрикмана получены на основе принципа минимума дополнительной энергии с помощью вариационного метода вычисления эффективных модулей упругости неоднородной среды [2, с. 120] и определяют верхнюю ( $K_c, \mu_c$ ) и нижнюю ( $K_n, \mu_n$ ) границы эффективных модулей упругости:

$$K_c = K_1 + \frac{(1-p)(K_2 - K_1)}{1 + pa_1(K_2 - K_1)}, \quad (3.6)$$

$$\mu_c = \mu_1 + \frac{(1-p)(\mu_2 - \mu_1)}{1 + pb_1(\mu_2 - \mu_1)}, \quad (3.7)$$

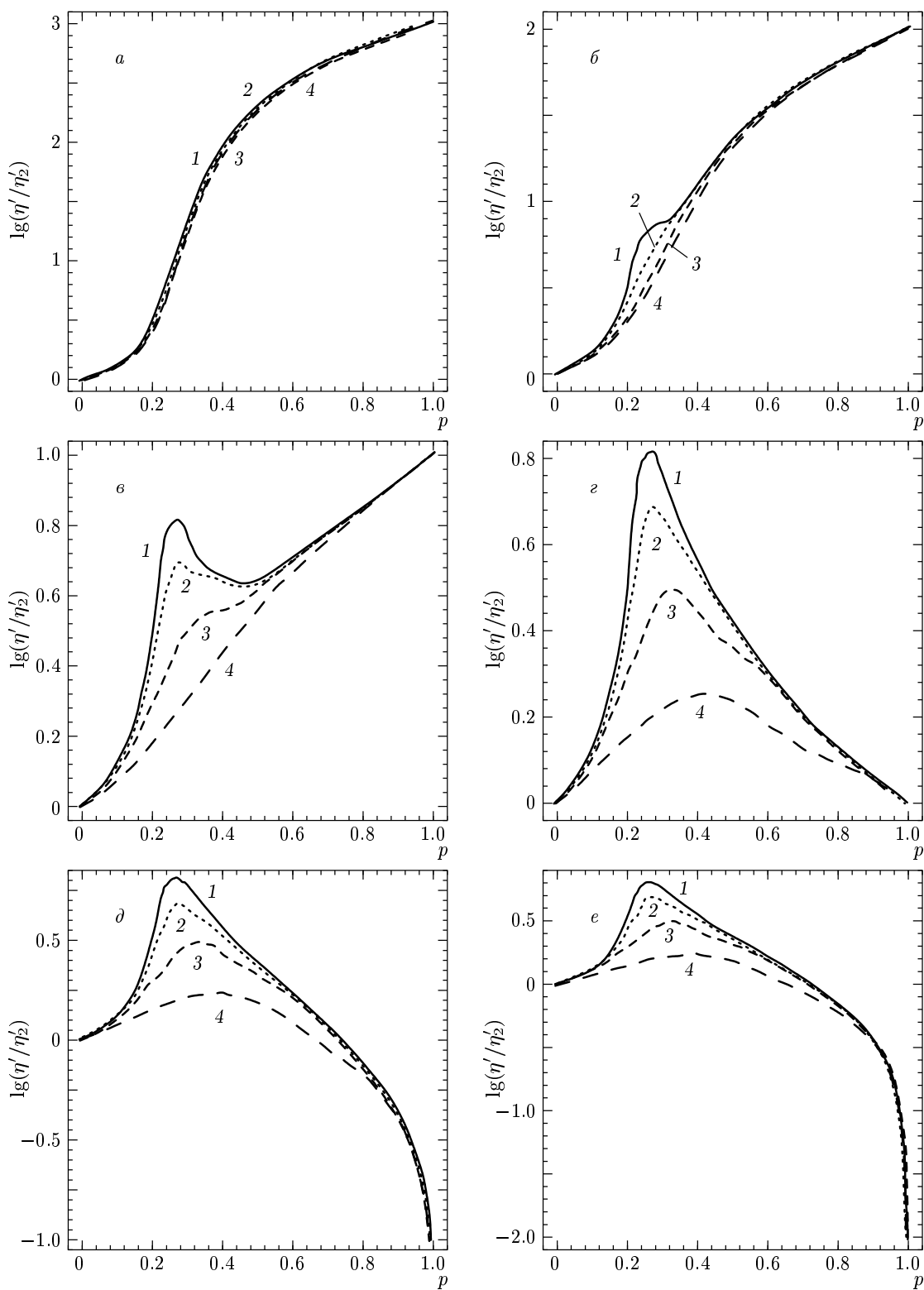
где

$$a_1 = \frac{3}{3K_1 + 4\mu_1}, \quad b_1 = \frac{6(K_1 + 2\mu_1)}{5\mu_1(3K_1 + 4\mu_1)}. \quad (3.8)$$

Формулы для  $K_n, \mu_n$  можно получить из (3.6)–(3.8) заменой индексов  $c \rightarrow n$ ,  $1 \leftrightarrow 2$  и  $p \leftrightarrow 1 - p$ .

Как было показано выше, упругие статические решения можно преобразовать в вязкоупругие решения для установившихся гармонических колебаний, заменяя упругие модули  $K$  и  $\mu$  соответствующими упругими комплексными модулями  $K^*$  и  $\mu^*$ .

С использованием данного принципа соответствия для связанных множеств комплексный модуль объемной упругости  $K_c^*$  и комплексный модуль



**Рис. 6.** Зависимость логарифма эффективной относительной вязкости  $\eta'/\eta_2' = \text{Im}[\mu^*(\omega)]/\text{Im}[\mu_2(\omega)]$  от концентрации  $p$  первой фазы при  $x = 10^4$  и  $a = 10^{-1}$  (а),  $10^{-2}$  (б),  $10^{-3}$  (в),  $10^{-4}$  (г),  $10^{-5}$  (д),  $10^{-6}$  (е). Расчеты проводились при значениях  $y = 10^{-2}$  (1),  $10$  (2),  $10^2$  (3),  $10^3$  (4)

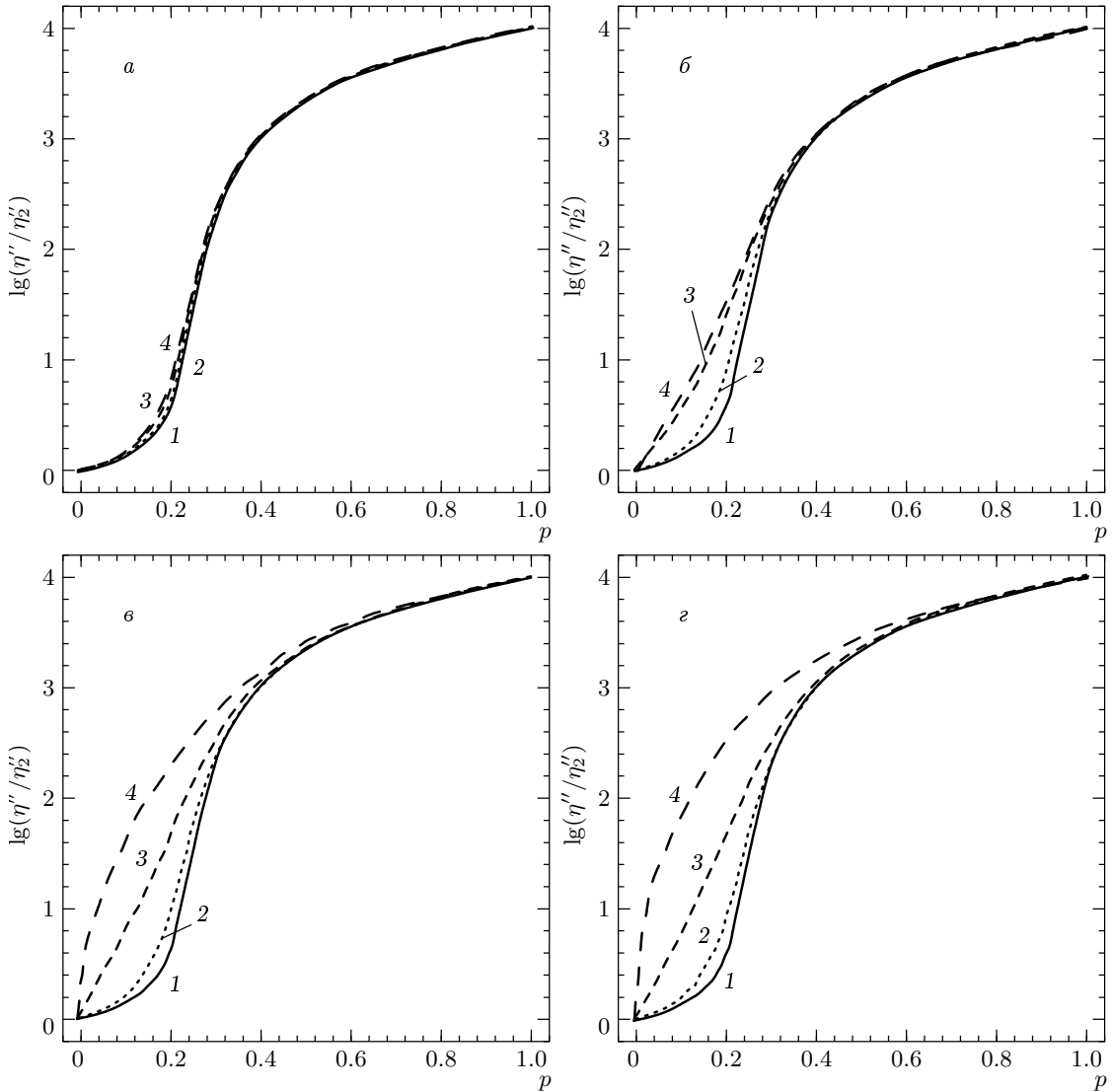


Рис. 7. Зависимость логарифма эффективной относительной вязкости,  $\eta''/\eta_2'' = \text{Re}[\mu^*(\omega)]/\text{Re}[\mu_2^*(\omega)]$ , от концентрации  $p$  первой фазы при тех же значениях  $x$ ,  $a$  и  $y$ , что и на рис. 6

сдвига  $\mu_c^*$  на  $(i+1)$ -м этапе можно записать в виде [5, 6]

$$K_c^{*(i+1)} = K_c^{*(i)} + \frac{(1-p_i) \left( K_n^{*(i)} - K_c^{*(i)} \right)}{1+p_i a_c^{(i)} \left( K_n^{*(i)} - K_c^{*(i)} \right)}, \quad (3.9)$$

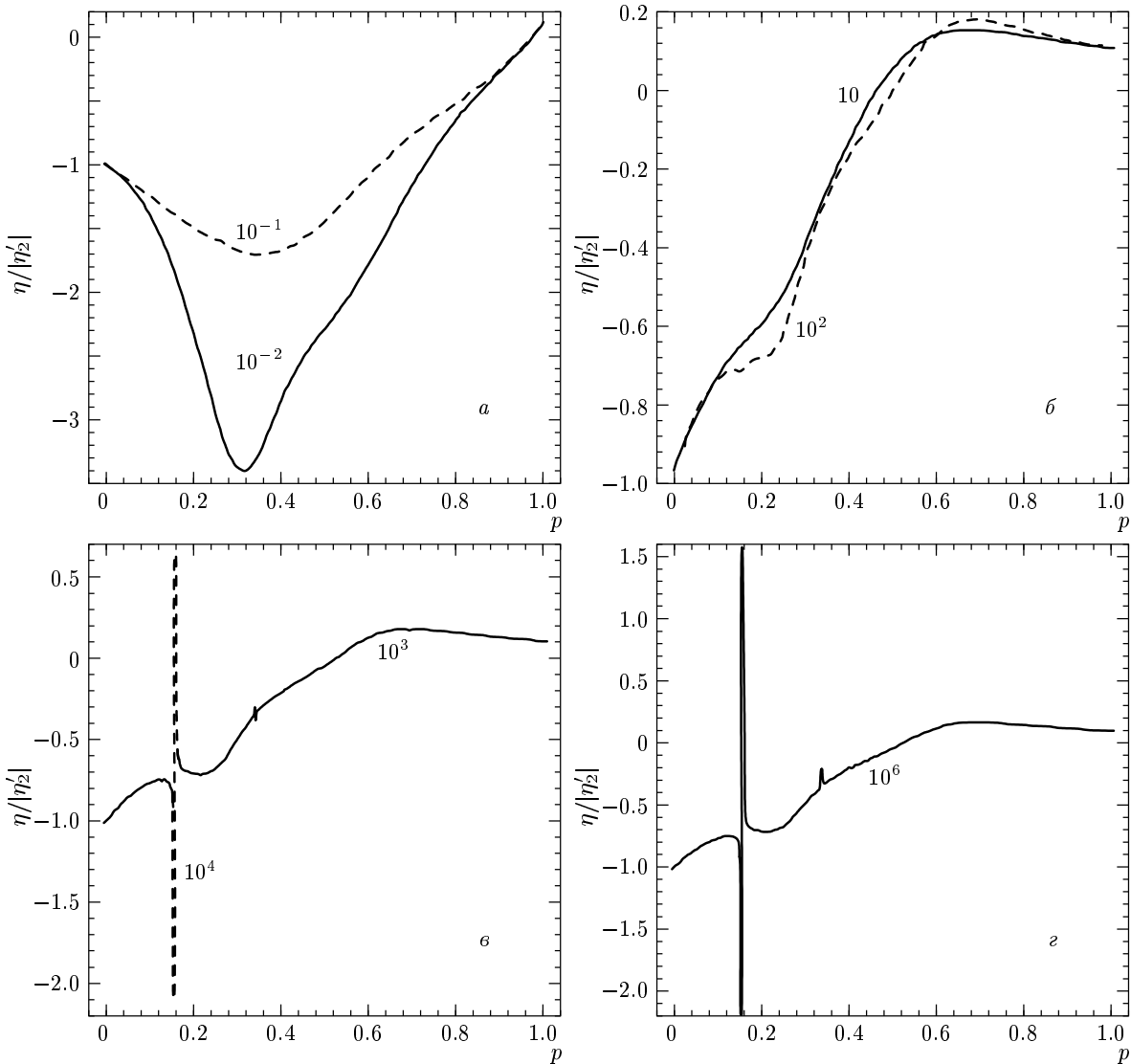
$$\mu_c^{*(i+1)} = \mu_c^{*(i)} + \frac{(1-p_i) \left( \mu_n^{*(i)} - \mu_c^{*(i)} \right)}{1+p_i b_c^{(i)} \left( \mu_n^{*(i)} - \mu_c^{*(i)} \right)}, \quad (3.10)$$

где

$$a_c^{(i)} = \frac{3}{3K_c^{*(i)} + 4\mu_c^{*(i)}}, \quad (3.11)$$

$$b_c^{(i)} = \frac{6 \left( K_c^{*(i)} + 2\mu_c^{*(i)} \right)}{5\mu_c^{*(i)} \left( 3K_c^{*(i)} + 4\mu_c^{*(i)} \right)},$$

где  $K_c^{*(0)} = K_1^*$  и  $\mu_c^{*(0)} = \mu_1^*$  — соответственно комплексный модуль объемной упругости и комплексный модуль сдвига первой фазы неоднородной среды, а  $K_n^{*(0)} = K_2^*$  и  $\mu_n^{*(0)} = \mu_2^*$  — соответственно комплексный модуль объемной упругости и ком-



**Рис. 8.** Зависимость эффективной относительной вязкости от концентрации  $p$  первой фазы, когда вторая фаза обладает отрицательными значениями вязкости. Значения  $y$  указаны около кривых

плексный модуль сдвига второй фазы,  $p_{i+1} = R(p_i)$  по (3.5).

Для несвязанного множества упругие свойства  $(K_n^{*(i+1)}, \mu_n^{*(i+1)})$  определяются по формулам, которые можно получить из (3.9)–(3.11) после замены индексов  $c \leftrightarrow n$  и  $p_i \leftrightarrow 1 - p_i$ .

#### 4. РЕЗУЛЬТАТЫ РАСЧЕТОВ

**Вязкоупругие среды.** Расчеты проводились для двухфазной (двухкомпонентной) неоднородной среды в предположении, что объемные деформации упругие, а сдвиговые — вязкоупругие. Отношение

локальных объемных модулей,  $K'_1/K'_2$ , задавалось равным  $10^4$ .

Для удобства расчетов локальные модули сдвига (модули сдвига фаз) представлялись в виде

$$\mu_1^* = \mu_2' x(1 + iay), \quad (4.1)$$

$$\mu_2^* = \mu_2'(1 + iy), \quad y = \operatorname{tg} \varphi_2 = \mu_2''/\mu_2', \quad (4.2)$$

$$x = \mu_1'/\mu_2' = \eta_2''/\eta_2', \quad a = \operatorname{tg} \varphi_1 / \operatorname{tg} \varphi_2. \quad (4.3)$$

Комплексная вязкость равна

$$\eta_j^*(\omega) = \eta_j'(\omega) - i\eta_j''(\omega),$$

где

$$\mu_j' = \omega \eta_j''(\omega), \quad \mu_j''(\omega) = \omega \eta_j'(\omega), \quad j = 1, 2.$$

**Рис. 9.** Зависимость относительного эффективного модуля сдвига от концентрации  $p$  первой фазы, когда модули сдвига фаз равны  $\mu_1^* = 1$ ,  $\mu_2^* = -y$ . Значения  $y$  изменялись в диапазонах 0.01–1 (а) и 1–10 (б)

На рис. 6 представлены результаты расчетов логарифма относительной эффективной вязкости неоднородной фрактальной среды,  $\eta'/\eta'_2 = \text{Im}[\mu^*(\omega)]/\text{Im}[\mu_2^*(\omega)]$  ( $\eta'_2$  — вязкость второй фазы), в зависимости от концентрации  $p$  первой фазы при различных значениях  $a$ .

Расчеты проводились при отношении вещественных частей модулей сдвига фаз  $x = 10^4$  и значениях  $y = 10^{-2}, 10, 10^2, 10^3$ .

Из рис. 6а ( $a = 0.1$ ,  $\mu''_1/\mu'_1 \ll 1$ ,  $\mu''_2/\mu'_2 \ll 1$ ) следует, что зависимость релаксированной вязкости ( $\omega \rightarrow 0$ ) от концентрации представляет собой монотонную кривую и не зависит от значений  $\mu''_2/\mu'_2$ . При  $a = 0.01$  и  $\mu''_2/\mu'_2 = 0.01$  (рис. 6б) в окрестности порога протекания появляются локальные максимум и минимум, которые при  $a < 0.01$  (рис. 6в–е) существенно зависят от значений  $\mu''_2/\mu'_2$ . При этом в области до порога протекания ( $p < p_c$ ) характер зависимости практически не меняется (рис. 6в–е), тогда как после порога протекания ( $p > p_c$ ) кривая из вогнутой (рис. 5в–д) становится выпуклой (рис. 5е,  $\mu''_1/\mu'_1 \ll 1$ ,  $\mu''_2/\mu'_2 \gg 1$ ). При  $a \leq 10^{-4}$  минимум исчезает и остается единственный максимум в окрестности порога протекания, который также исчезает при  $\mu''_2/\mu'_2 \rightarrow \infty$  (рис. 6д, е). Полученные результаты показывают, что зависимость  $\lg|\eta'/\eta'_2|$  от концентрации  $p$  фрактальной структуры становится выпуклой с единственным максимумом, когда  $ax \sim 1$ , т. е. когда  $\mu''_1 \sim \mu''_2$  при значениях  $x \gg 1$  ( $\mu'_1 \gg \mu'_2$ ).

На рис. 7 представлены результаты расчетов логарифма относительной эффективной вязкости,  $\eta''/\eta'_2 = \text{Re}[\mu^*(\omega)]/\text{Re}[\mu_2^*(\omega)]$  от концентрации  $p$  перво-

вой фазы. Из расчетов следует, что при  $a \leq 10^{-3}$  (рис. 7в, г) относительная эффективная вязкость  $\eta''/\eta'_2$  практически не зависит от  $a$ . При  $p < p_c$  характер зависимости меняется, когда  $a \rightarrow 0$ , а при  $p > p_c$  остается неизменной.

**Вязкоупругие среды с отрицательным модулем сдвига.** В [11–13] рассматривался неоднородный материал, один компонент в котором обладал отрицательным модулем сдвига (отрицательной жесткостью), и было отмечено, что композиты с включениями с отрицательными модулями сдвига в вязкоупругих средах имеют более высокую жесткость и механическое демпфирование по сравнению с компонентами, из которых получен композит.

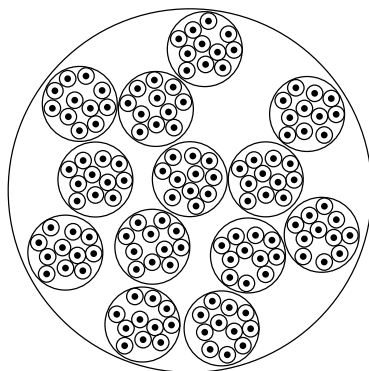
На рис. 8 представлены результаты расчетов модуля сдвига вязкоупругой неоднородной среды с хаотической фрактальной структурой, в которой первая фаза имела комплексный модуль сдвига

$$\mu_1^* = 1 + 0.1iy, \quad (4.4)$$

а вторая фаза — отрицательный модуль сдвига

$$\mu_2^* = -iy. \quad (4.5)$$

Из расчетов следует (рис. 8), что в окрестности порога протекания в зависимости относительной эффективной вязкости от концентрации фаз неоднородной среды при  $y \geq 10$  ( $\mu_1'' \geq \mu_1'$ ) возникают сингулярности, которые исчезают при  $y \ll 1$  ( $|\mu_2''| \ll \mu_1'$ ). Когда  $y \ll 1$  ( $|\mu_2''| \ll \mu_1'$ ), в зависимости эффективной относительной вязкости  $\eta'/|\eta'_2|$  от  $p$  существует минимум в окрестности порога  $p_c$ , который исчезает при  $y \rightarrow 10$  ( $\mu_1'' \rightarrow \mu_1'$ ).



**Рис. 10.** Пример получения материала с фрактальной структурой

На рис. 9 представлены результаты расчетов эффективного модуля сдвига для модулей сдвига фаз  $\mu_1^* = 1$ ,  $\mu_2^* = -y$ . Из расчетов следует, что при  $y \gg 1$  сингулярности локализуются и смещаются в область малых концентраций  $p$ . При  $y \ll 1$  сингулярности возникают во всем диапазоне концентраций  $p$ .

Анализ функции распределения  $f(t)$  времени релаксации вязкоупругой среды с фрактальной структурой может быть проведен аналогично анализу функции распределения времени релаксации диэлектрических свойств [14].

В заключение отметим, что создание материалов с фрактальной структурой, которые будут иметь вязкоупругие свойства, адекватные рассмотренным модельным расчетам, можно провести по следующей схеме: на первом этапе изготавливаются «таблетки», например, при создании материала с высокими демпфирующими свойствами. Таблетка состоит из полимерной оболочки с включением из единичных доменов ферромагнитного материала. На втором этапе создается таблетка, включениями в которой служат таблетки, полученные на первом этапе и т. д. (рис. 10).

## 5. ВЫВОДЫ

Исследованы вязкоупругие свойства неоднородных сред с хаотической фрактальной структурой.

Выявлены условия немонотонного поведения эффективной вязкости в вязкоупругих средах и сингулярного поведения эффективной вязкости и эффективного модуля сдвига при отрицательном модуле сдвига (вязкости) одной из фаз неоднородной среды.

## ЛИТЕРАТУРА

1. Л. Д. Ландау, Е. М. Лифшиц, *Теория упругости*, Наука, Москва (1987).
2. Т. Д. Шермергор, *Теория упругости микронеоднородных сред*, Наука, Москва (1977).
3. Р. Кристенсен, *Введение в механику композитов*, Мир, Москва (1982).
4. В. В. Новиков, К. В. Войцеховский, ПМТФ **41**, 162 (2000).
5. V. V. Novikov, K. W. Wojciechowski, D. V. Belov, and V. P. Privalko, Phys. Rev. E **63**, 036120 (2001).
6. В. В. Новиков, К. В. Войцеховский, ФТТ **41**, 2147 (1999).
7. В. В. Новиков, В. П. Белов, ЖЭТФ **106**, 780 (1994).
8. J. Bernasconi, Phys. Rev. B **18**, 2185 (1978).
9. Z. Hashin and S. Shtrikman, J. Mech. Phys. Sol. **10**, 335 (1962).
10. Z. Hashin, J. Appl. Mech. **50**, 481 (1983).
11. R. S. Lakes, Phys. Rev. Lett. **86**, 2897 (2001).
12. R. S. Lakes, T. Lee, A. Bersie, and Y. C. Wang, Nature **410**, 565 (2001).
13. R. S. Lakes, Phil. Mag. Lett. **81**, 95 (2001).
14. V. V. Novikov and V. P. Privalko, Phys. Rev. E **64**, 031504 (2001).